

# 原子核基礎論B

京大基研 大西 明

Akira Ohnishi (YITP, Kyoto U.)

1. 核力・特に非中心力や3体力(1回)
2. 原子核構造を記述するための種々の模型の最近の進展(2回)
3. 最近の中性子過剰核の物理の最近の進展(2回)
4. 原子核構造における異なる状態の混合や競合(2回) 板垣
  
5. 高温・高密度核物質概観(1回)
6. 有限温度・密度における場の理論入門(2回)
7. QCD有効模型における相転移と相図(2回)
8. 有限温度・密度格子QCDと符号問題(1回)
9. 高エネルギー重イオン衝突における輸送理論(1回) 大西

# *Field Theory at Finite $T$ & $\rho$*

## *– Short Course –*

# 経路積分

## ■ 量子力学での経路積分 (Path Integral)

- 時刻  $t_i$  に位置  $q_i$  にいた粒子が時刻  $t_f$  に位置  $q_f$  に到着する振幅

$$S_{fi} = \left\langle q_f, t_f \mid e^{-i\hat{H}(t_f - t_i)} \mid q_i, t_i \right\rangle = \int_{q(t_i) = q_i, q(t_f) = q_f} \mathcal{D}q e^{iS[q]}$$

$$S[q] = \int dt L(q, \dot{q}) ,$$

### 特徴

- 演算子の代わりに通常の数 (c-number) で表せる
- 作用  $S$  の構成時に正準交換関係を用いることにより「量子論」の性質を取り込む

## ■ 場の理論 = 各点での場の振幅 $\phi(x, t)$ を座標とする量子力学

$$S_{fi} = \left\langle \Psi_f \mid e^{-i\hat{H}(t_f - t_i)} \mid \Psi_i \right\rangle = \int_{\Psi(t_i) = \Psi_i, \Psi(t_f) = \Psi_f} \mathcal{D}\phi e^{iS[\phi]}$$

$$S[\phi] = \int d^4x \mathcal{L}(\phi, \partial_\mu \phi) .$$

# 分配関数とユークリッド化

## ■ 分配関数

$$\begin{aligned}\mathcal{Z}(T) &= \sum_n \exp(-E_n/T) = \sum_n \left\langle n \mid e^{-\hat{H}/T} \mid n \right\rangle \\ &= \sum_n \left\langle n \mid e^{-i\hat{H}(t_f - t_i)} \mid n \right\rangle_{t_f - t_i = -i/T} = \int_{\phi(x,\beta) = \phi(x,0)} \mathcal{D}\phi e^{-S_E[\phi]}\end{aligned}$$

$$S_E[\phi] = \int_0^\beta d\tau d^3x \mathcal{L}_E(\phi, \partial_i \phi, \partial_\tau \phi)$$

$$\mathcal{L}_E(\phi, \partial_i \phi, \partial_\tau \phi) = -\mathcal{L}(\phi, \partial_i \phi, \partial_t \phi \rightarrow i\partial_\tau \phi)$$

$$t = -i\tau, \partial_t = i\partial_\tau, \beta = 1/T$$

$$iS = i \int_0^{-i\beta} dt \int d^3x \mathcal{L} = \int_0^\beta d\tau \int d^3x L = - \int_0^\beta d\tau \int d^3x \mathcal{L}_E$$

- 統計力学の分配関数は虚時間発展の振幅の和である。
- 全ての状態について和 →  $\tau=0, \beta$  で周期境界条件をつけて任意の  $\phi(x,t)$  について足し合わせる。

# *Example: Scalar Field*

---

## ■ Lagrangian density

$$\mathcal{L} = \frac{1}{2}\partial_\mu\phi\partial^\mu\phi - \frac{1}{2}m^2\phi^2 - U(\phi)$$

**Euler-Lagrange equation (principle of least action)**

$$\partial_\mu \left[ \frac{\partial \mathcal{L}}{\partial(\partial_\mu\phi)} \right] - \frac{\partial \mathcal{L}}{\partial\phi} = 0 \rightarrow \partial_\mu\partial^\mu\phi + m^2\phi + \frac{\partial U}{\partial\phi} = 0 \text{ (Klein-Gordon eq.)}$$

## ■ Euclidean Lagrangian

- Euclid 化のルール  $t = -i\tau, x_4 = \tau, g_{\mu\nu} = (1, 1, 1, 1), L_E = -L$

$$\mathcal{L}_E = \frac{1}{2}\partial_\mu\phi\partial_\mu\phi + \frac{1}{2}m^2\phi^2 + U(\phi)$$

→ 相互作用がない場合に実際に経路積分してみましょう。

# Partition Func. of Free Scalar Field

## ■ 自由スカラー場の分配関数

- 有限のサイズの箱(体積  $V$ )の中で自由スカラー場( $U=0$ )
- フーリエ変換

$$\phi(\tau, \mathbf{x}) = \frac{1}{\sqrt{V/T}} \sum_{n,\mathbf{k}} \exp(-i\omega_n \tau + i\mathbf{k} \cdot \mathbf{x}) \phi_n(\mathbf{k})$$

Periodic Boundary Condition  $\omega_n = 2\pi n T$ ,  $k_i = 2\pi n_i / L$

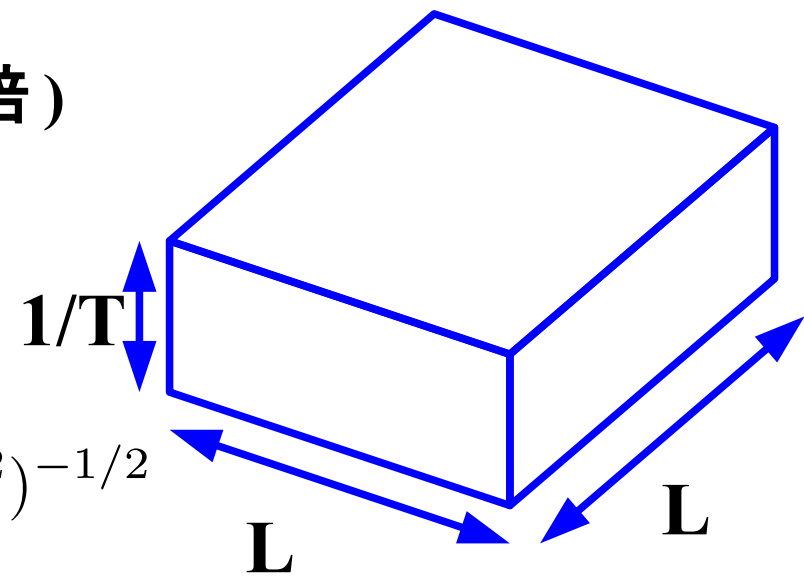
Euclidean action  $S_E = \frac{1}{2} \sum_{n,\mathbf{k}} (\omega_n^2 + \mathbf{k}^2 + m^2) \phi_n^*(\mathbf{k}) \phi_n(\mathbf{k})$ ,

- フーリエ変換はユニタリー変換だから、積分の測度は変わらない。(高々定数倍)

$$\mathcal{D}\phi = N \prod_{n,\mathbf{k}} d\phi_n(\mathbf{k})$$

- ガウス積分 → 分配関数

$$\mathcal{Z} = \int \mathcal{D}\phi e^{-S_E} = N \prod_{n,\mathbf{k}} \sqrt{2\pi} (\omega_n^2 + \mathbf{k}^2 + m^2)^{-1/2}$$



# Partition Func. of Free Scalar Field (cont.)

## ■ 自由エネルギー

$$\Omega = -T \log \mathcal{Z} = \frac{1}{2} \sum_{\mathbf{k}} \left[ T \sum_n \log(\omega_n^2 + \underbrace{\mathbf{k}^2 + m^2}_{E_{\mathbf{k}}^2}) \right] = \frac{1}{2} \sum_{\mathbf{k}} I(E_{\mathbf{k}}, T) + \text{const.}$$

## ■ 松原和 (Matsubara Frequency summation)

$$\sum_n \frac{T}{\omega_n^2 + E^2} = \begin{cases} \frac{1}{2E} \frac{\cosh(\beta E/2)}{\sinh(\beta E/2)} & (\omega_n = 2\pi n T) \\ \frac{1}{2E} \frac{\sinh(\beta E/2)}{\cosh(\beta E/2)} & (\omega_n = \pi(2n+1)T) \end{cases}$$

$$\frac{\partial I(E, T)}{\partial E} = \sum_n \frac{2ET}{\omega_n^2 + E^2} = \begin{cases} \coth(\beta E/2) & (\omega_n = 2\pi n T) \\ \tanh(\beta E/2) & (\omega_n = \pi(2n+1)T) \end{cases}$$

$$I(E, T) = E + 2T \log(1 - e^{-E/T}) + \text{const.}$$

# Partition Func. of Free Scalar Field (cont.)

## ■ 自由エネルギー (グランド・ポテンシャル)

$$\Omega = \sum_k \left[ \frac{E_{\mathbf{k}}}{2} + T \log(1 - e^{E_{\mathbf{k}}/T}) \right] + \text{const.}$$

$$\rightarrow V \int \frac{d^3 k}{(2\pi)^3} \left[ \frac{E_{\mathbf{k}}}{2} + \underbrace{T \log(1 - e^{E_{\mathbf{k}}/T})}_{\text{熱的励起}} \right]$$

ゼロ点エネルギー ( $\hbar\omega/2$ )

熱的励起

ゼロ点エネルギー部分を無視して部分積分すると、通常の圧力を得る。

$$P = -\Omega/V = \int \frac{d^3 k}{(2\pi)^3} \frac{k^2}{3E_{\mathbf{k}}} \frac{1}{e^{E_{\mathbf{k}}/T} - 1}$$

場の理論 → Euclid 化 + Imag. Time → 統計力学

# Matsubara Frequency Summation

## Contour integral technique

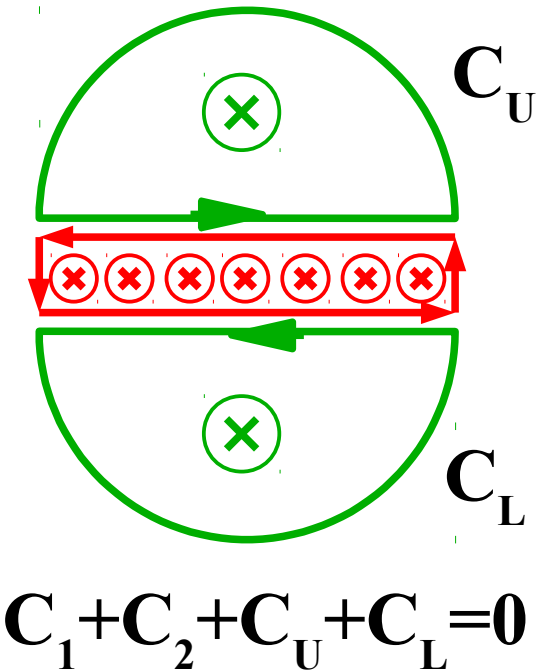
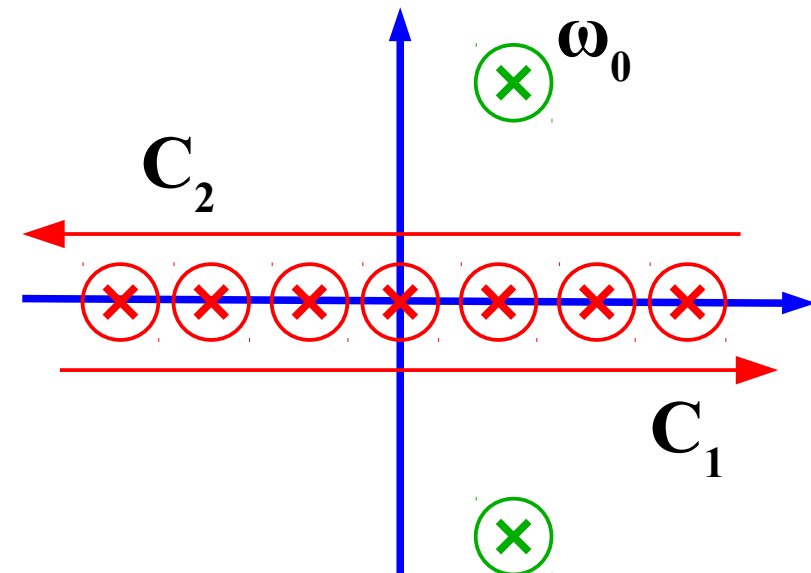
$$S = T \sum_n g(\omega_n = 2\pi nT, \pi(2n+1)T)$$

$$= \pm \int_{C_1+C_2} \frac{dz}{2\pi} \frac{g(z)}{e^{i\beta z} \mp 1} = \mp i \sum_{\omega_0} \frac{\text{Res } g(\omega_0)}{e^{i\beta\omega_0} \mp 1}$$

(g: meromorphic (有理型),  
no pole on real axis,  
decreases faster than  $1/\omega$  at  $\omega \rightarrow \infty$ )

- Applicable to more general cases !
  - Anti-periodic condition  $\rightarrow$  Fermi-Dirac dist.
- Example:  $g(\omega) = 1/(\omega^2 + E^2)$   
 $\rightarrow \omega_0 = \pm iE$ ,  $\text{Res } g = \pm 1/2iE$

$$S = \frac{1}{2E} \frac{e^{\beta E} \pm 1}{e^{\beta E} \mp 1}$$



## ■ Lagrangian

$$\mathcal{L} = \bar{\psi}(i\gamma^\mu \partial_\mu - m)\psi$$

## ■ Euclidean action

$$(x_\mu)_E = (\tau = it, \mathbf{x}), (\gamma_\mu)_E = (i\gamma^0, \boldsymbol{\gamma})$$

$$\mathcal{L}_E = \bar{\psi}(-i\gamma_\mu \partial_\mu + m)\psi$$

## ■ Grassman number

経路積分において、フェルミオンは反可換な Grassmann 数

$$\int d\chi \cdot 1 = \text{anti-comm. const.} = 0, \int d\chi \cdot \chi = \text{comm. const.} = 1$$

$$\begin{aligned} \int d\chi d\bar{\chi} \exp [\bar{\chi} A \chi] &= \int d\chi d\bar{\chi} \frac{1}{N!} (\bar{\chi} A \chi)^N = \dots = \det A \\ &= \exp [ -(-\log \det A) ] \end{aligned}$$

Bi-linear Fermion action leads to -log(det A) effective action

# Relativistic Mean Field

## ■ Example: Relativistic Mean Field (RMF)

$$\mathcal{L} = \bar{\psi}(i\gamma^\mu \partial_\mu - m - \Sigma)\psi + \mathcal{L}_{\text{meson}}$$

$$\Sigma = g_\sigma \sigma + \gamma^\mu (g_\omega \omega_\mu + g_\rho \rho_\mu \cdot \tau)$$

## ■ Euclid 化 + 化学ポテンシャルの導入

$$\begin{aligned}\mathcal{Z} &= \int \mathcal{D}\psi \mathcal{D}\bar{\psi} \mathcal{D}\Phi \exp \left[ - \int d^4x (L - \mu \psi^\dagger \psi) \right] \\ &= \int \mathcal{D}\psi \mathcal{D}\bar{\psi} \mathcal{D}\Phi \exp \left[ - \int d^4x (\bar{\psi} D\psi + \mathcal{L}_{\text{meson}}) \right] \\ &= \int \mathcal{D}\Phi \exp [-S_{\text{eff}}(\Phi; T, \mu)]\end{aligned}$$

$$D = -i\gamma_\mu \partial_\mu - \mu \gamma^0 + m + \Sigma$$

## ■ 一様平均場近似 (meson field=const.) → 有効作用

$$S_{\text{eff}} = S_{\text{eff}}^{(F)} + S_{\text{meson}} = - \sum_{n,\mathbf{k}} \log \det D_{n,\mathbf{k}} + \int d^4x \mathcal{L}_{\text{meson}}$$

# RMF: Uniform Field

- 一様な場を仮定 → Fourier 変換により  $D$  をブロック対角化

$$D_{n,\mathbf{k}} = \gamma^0(-i\omega_n - (\mu - V^0)) + \gamma \cdot \mathbf{k} + M + g_\sigma \sigma$$

$$\rightarrow \det D_{n,\mathbf{k}} = [(\omega_n + i\mu^*)^2 + E_{\mathbf{k}}^{*2}]^2$$

$$\mu^* = \mu - g_\omega \omega^0 - g_\rho \rho^0 \tau, \quad E^* = \sqrt{\mathbf{k}^2 + M^{*2}}, \quad M^* = m + g_\sigma \sigma$$

- 松原振動数和を実行  $\mathcal{F}_{\text{eff}}^{(F)} = \Omega^{(F)}/V$

$$\mathcal{F}_{\text{eff}}^{(F)} = -d_f \int \frac{d^3 k}{(2\pi)^3} \left[ \underbrace{\frac{E^*}{2} + \frac{T}{2} \log(1 + e^{-(E^* - \mu^*)/T})}_{\text{ゼロ点}} + \underbrace{\frac{T}{2} \log(1 + e^{-(E^* + \mu^*)/T})}_{\text{反粒子 (反核子)}} \right]$$

ゼロ点 粒子 (核子) 反粒子 (反核子)

- 温度 0 の場合

$$\mathcal{F}_{\text{eff}}^{(F)} = -\frac{d_f}{2} \int^\Lambda \frac{d^3 k}{(2\pi)^3} E^* + d_N \int^{k_F} \frac{d^3 k}{(2\pi)^3} E^* - \mu^* \rho_B (d_N = d_f/2)$$

ゼロ点エネルギーは核子のループから現れる  
(RMF では通常無視)

## ■ 通常の Dirac 方程式 (Minkowski metric) に平面波を代入すると

$$(i\gamma^0 \partial_t + i\gamma \cdot \nabla - m)\psi = D\psi = 0$$

$$(\gamma^0 E - \gamma \cdot k - m)\chi = D_{E,k}\chi = 0$$

解は  $E^2 = k^2 + m^2$  を満たすので、行列式が  $E$  の 4 次式であることを用い  
ると

$$\det D_{E,k} = (E^2 - E_k^2)^2 \quad (E_k^2 = k^2 + m^2)$$

# RMF: non-uniform meson field

- 中間子場が非一様な場合 (e.g. 原子核) には平面波基底が使えない → 一粒子基底
- 静的な中間子場での Dirac Eq. と一粒子基底

$$\hat{K} = \gamma^0 [-i\gamma \cdot \nabla + M^*(x) + \gamma^0 V_0(x)]$$

$$\hat{K}\psi_k = E\psi_k \text{ (Dirac Eq., } E_k \in \mathbb{R})$$

- 一粒子基底を使って  $\gamma^0 D$  は対角化可能

$$\psi_{n,k}(x) = e^{-i\omega_n t} \psi_k(x)$$

$$\gamma^0 D = \hat{K} + \partial_\tau - \mu$$

$$\gamma^0 D \psi_{n,k} = (E_k - \mu - i\omega_n) \psi_{n,k} = (\varepsilon_k - i\omega_n) \psi_{n,k}$$

- 行列式

$$T \log \det D = T \log \det(\gamma^0 D)$$

$$= \sum_k \left[ T \sum_n \log(\varepsilon_k - i\omega_n) \right] = \sum_k \left[ \frac{T}{2} \sum_n \log(\varepsilon_k^2 + \omega_n^2) \right]$$

# RMF: non-uniform meson field (cont.)

## ■ 自由エネルギー (フェルミオン部分)

$$\Omega_F = - \sum_k \left[ \frac{\varepsilon_k}{2} + T \log(1 + \exp(-\beta \varepsilon_k)) \right]$$

$$= - \sum_k \frac{|E_k|}{2} - \underbrace{\sum_{k, E_k > 0} T \log(1 + e^{-\beta(E_k - \mu)})}_{\text{粒子}} - \underbrace{\sum_{k, E_k < 0} T \log(1 + e^{-\beta(|E_k| + \mu)})}_{\text{反粒子}}$$

粒子

反粒子

## ■ $T \rightarrow 0$

$$\Omega_F \rightarrow - \sum_k \frac{|E_k|}{2} + \sum_{k, 0 < E_k < \mu} (E_k - \mu)$$

# レポート(1)

- 全部で 5-7 問程度出します。  
3 問程度以上レポートを出してください。
- Rep.1: 松原和を求める際に用いた次の式を導出せよ。

$$S = T \sum_n g(\omega_n = 2\pi nT, \pi(2n+1)T) = \mp i \sum_{\omega_0} \frac{\text{Res } g(\omega_0)}{e^{i\beta\omega_0} \mp 1}$$

- Rep.2: RMF の平均場近似において、粒子数・エントロピー・エネルギー密度を求める表式を求めよ。 (uniform field の場合でよい。)
- Rep.3 (追加): 量子力学における経路積分の表式

$$S_{fi}[q] = \int_{t_i, q=q_i}^{t_f, q=q_f} dt L(q, \dot{q})$$

を導出せよ。